

Ужгородський університет

Uzhhorod University SCIENTIFIC HERALD

**серія
Фізика**

**Series
Physics**

**Випуск
Issue 14**

2003

Науковий вісник Ужгородського університету. Серія Фізика. Випуск 14. — 2003

Міністерство освіти і науки України
Ужгородський національний університет

НАУКОВИЙ ВІСНИК
Ужгородського університету
Uzhhorod University SCIENTIFIC HERALD

Серія
Фізика
Series
Physics

Випуск 14
Issue

2003

Журнал засновано у 1997 році та видається за рішенням
Редакційно-видавничої ради Ужгородського державного
університету

Ужгород — 2003

**Засновником журналу "Науковий вісник Ужгородського університету, Серія Фізика"
є Ужгородський національний університет, фізичний факультет.**

Редакційна колегія:

Професори, д. ф.-м. н. I.Небола (відповідальний редактор),
I.Шафраньош (заступник відповідального редактора), Д.Берча,
Д.Блецкан, О.Герзанич, В.Лазур, О.Кикинеші, В.Мікла, С.Поп,
I.Хіміч, Л.Шимон (Ужгородський національний університет),
член-кореспондент НАН України О.Шпеник,
д. ф.-м. н. А.Завілопуло (заступник відповідального редактора),
д. ф.-м. н. В.Маслюк, М.Гайсак (ІЕФ НАН України, м. Ужгород)

Відповідальний за випуск д. ф.-м. н. А.Завілопуло

Редакція:

Ю.Ажнюк, Г.Гомонай, Т.Попик, Л.Романова, В.Фейер

**Тематика журналу "Науковий вісник Ужгородського університету, Серія Фізика"
охоплює:**

фізику конденсованого середовища,
ядерну фізику,
атомну та молекулярну фізику,
теорію поля та фізику елементарних частинок,
астрофізику,
фізичну електроніку,
прикладну фізику,
міжdisciplinarnu фізику

та суміжні ділянки науки, техніки, історії фізики,
хроніку, персоналії та бібліографію

Адреса редакції:

Ужгород 88000, вул. Волошина, 54,
Фізичний факультет УжНУ
Тел. (факс): (03122) 3-23-39
e-mail: inpcss@iss.univ.uzhgorod.ua

© Ужгородський національний університет, 2003
© Інститут електронної фізики НАН України, 2003

ОВІД ДРОБНЯН

ЗМІСТ

ВОЖАШУ.Н.НІДОВІ

Моделювання процесу Монолітного виробництва півпровідникової індукційної кірки з використанням
Зарядів

18

Т.Ю.ПОПІК, В.М.ФЕЙЕР

Зондування різномодифікованих поверхонь Ge(111) повільними електронами

А.А.РОВЕНЧАК

Міжатомні потенціали розрідженої багатобозонної системи

L.D.DEMCHENKO

Diffusion layers formation under deformed iron alloys surface saturation by nitrogen

В.І.ЛЯМАСЬ, В.М.ГОЛОВЕЙ

Дослідження дозових і енергетичних залежностей виходу термостимульованої
люмінесценції монокристалів $\text{Li}_2\text{B}_4\text{O}_7:\text{Mn}$ та $\text{Li}_2\text{B}_4\text{O}_7:\text{Ag}$

О.М.СЛЬТОВ

Рентгенодифракційні дослідження структурної досконалості кристалів
 $\text{ZnSe} < \text{Mg} >$

L.G.LEVCHUK, P.V.SOROKIN, D.V.SOROKA, S.S.ZUB

Elements of the grid middleware at the KIPT CMS Linux cluster

Р.М.ПЛЕКАН, В.Ю.ПОЙДА, І.В.ХІМІЧ

Теоретичний опис кореляцій нуклонів парно-парних атомних ядер

I.B.РОГОЗІН, О.В.МАРАХОВСЬКИЙ

Термодинамічний і кінетичний аналіз власних дефектів у нітриді галію

О.І.ГОМОНАЙ, О.І.ПЛЕКАН

Прояв двофотонних резонансів при трифотонній іонізації атома самарію

Є.В.ОВЧАРЕНКО

Збудження інтеркомбінаційної лінії In^+ при електрон-іонних зіткненнях

С.С.ПАВЛОВ

Структура локальних станів у міжкристалітних прошарках плівок сульфіду
свинцю

О.В.КНІГІНІЦЬКИЙ

Обчислення параметрів потенціалів міжатомної взаємодії кубічних граток
у довгохвильовому наближенні

Р.Б.РІЙВЕС

Пошук імпульсної генерації на самообмежених переходах атома індію

Є.А.СВІТЛИЧНИЙ

Імпульсний лазер на самообмежених переходах іонізованого кальцію

О.М.ВОДІН, І.В.УШАКОВ	83
Ізозвекторні l -заборонені магнітні дипольні переходи в ядрі ^{31}P	
І.О.ЗАВІЗІОН, Р.Б.РІЙВЕС, Є.А.СВІТЛИЧНИЙ, Ю.В.ЖМЕНЯК,	91
В.А.КЕЛЬМАН, Ю.О.ШПЕНИК	
Емісійні властивості імпульсного розряду в суміші Xe-NaCl	
В.М.КАМЕНЩИКОВ, В.О.СТЕФАНОВИЧ, Л.М.СУСЛІКОВ	95
Оптичні фонони в кристалах $\text{A}_2^1\text{B}^{\text{VI}}\text{C}^{\text{VII}}_6$	
Т.С.КУЛАЙ, В.М.ЛЕСІВЦІВ	100
Фононні спектри CdI_2 в далекій інфрачервоній області	
Ю.Л.БЛАЖИЄВСЬКИЙ	105
Вільна енергія системи іонів у пористому середовищі	
Т.Д.МЕЛЬНИЧЕНКО	109
Параметри теорії флюктуаційного вільного об'єму в стеклах системи Ge-As-Se	
Д.Ф.ТИМОХОВ	113
Підвищення квантового виходу фотолюмінесценції шарів поруватого кремнію	
оптимізацією параметрів анодизації	
В.В.КУЗЬМА, О.М.КОНОПЛЬОВ, В.О.МАСТЮГІН,	119
Г.Ю.ПОДГОРЕЦЬКА, В.Г.ДРОБНИЧ	
Характерні швидкості збуджених атомів Na, розпорошених іонами K^+ з поверхні	
моноокристала NaCl	
Ю.ФЕКЕТЕ, І.ГАЙСАК, В.МОРОХОВИЧ	122
Електрична поляризовність гадронів	
А.П.ЯЛЬЧ, МАЛЕК АЛІ	128
Електрон-фотонна емісія сапфіру і рубіну	
М.І.ЛІНТУР, М.В.ПРИХОДЬКО, Л.М.МАРКОВИЧ, Н.АЛЬ-ДУРГАМ,	134
С.С.ПОП	
Свічення поверхні чистого і легованого домішками кремнію під дією електронів	
В.М.КРАСИЛИНЕЦЬ, Б.М.ГУНДА, М.М.ЕРДЕВДІ, А.М.СОЛОМОН,	138
І.І.ЧИЧУРА	
Дослідження катодолюмінесценції твердих тіл на модернізованій	
експериментальній установці "Атом"	
О.С.КУШНІР, Р.Я.ШОПА	142
Аналіз критичної поведінки гіротропії при фазових переходах у кристалах	
М.І.РОСПОПА	149
Вплив опромінення на оптичні та електричні властивості стекол систем $\text{HgSe-SnSe}_2\text{-Ga}_2\text{Se}_3$ та $\text{ZnSe-GeSe}_2\text{-Ga}_2\text{Se}_3$	

О.В.ДРОБНИЧ

154

Моделювання методом Монте-Карло фазової поведінки мікрокристалів типу
 $\text{Sn}_2\text{P}_2\text{S}_6$

✓ М.В.ПРИХОДЬКО

159

Електрон-фотонна емісія лужно-галогенних кристалів

Б.В.БУДНИЙ

164

Екранування електромагнітної взаємодії у слаборелятивістичному виродженному електронному газі

L.G.LEVCHUK, D.V.SOROKA, P.V.SOROKIN, S.S.ZUB

171

Results of participation of NSC KIPT in the CERN/CMS Monte-Carlo event production

А.А.ЩЕРБАКОВ

175

Новий доданок у пружній енергії і його вплив на фазові переходи

М.М.СТЕЦЬ, М.В.СТЕЦЬ

179

Гамма-спектрометрія закарпатських цеолітів

П.АСТАФ'ЄВ, О.АНАНЬЇНА

188

Взаємодія фосфору з атомарно-чистими поверхнями Ge(100)

V.YU.LAZUR, M.V.KHOMA, R.K.JANEV, M.I.KARBOVANETS

195

Three Coulomb centre problem and its application to the theory of ion-molecule collisions

Ю.Ю.ЖИГУЦ, Ю.Ю.СКИБА, Я.П.ЛЕГЕТА

201

Метод обчислення характеру фазових діаграм стану сплавів

Фазові діаграми сплавів є важливим інструментом для розуміння фізичних процесів, які відбуваються під час кристалізації та плавлення сплавів. Вони дозволяють отримати інформацію про структуру та фізичні властивості сплавів, які не можуть бути отримані за допомогою інших методів. Однак, побудова фазової діаграми складна завдання, оскільки вона залежить від багатьох факторів, таких як хімічний склад сплаву, температура, швидкість охолодження та інші. Для побудови фазової діаграми використовують різноманітні методи, наприклад, методи термічного аналізу, електропровідності, магнітної провідності, електрохімічної енергетики, електронно-спекторальні, електрон-фотонні спектроскопічні та інші методи. Кожен з цих методів має свої переваги та недоліки, тому вибір конкретного методу залежить від конкретної проблеми та обсягу даних.

При побудові фазової діаграми зазвичай використовують методи термічного аналізу та електропровідності. Термічний аналіз дозволяє отримати інформацію про структуру та фізичні властивості сплавів, які не можуть бути отримані за допомогою інших методів. Електропровідність дозволяє отримати інформацію про структуру та фізичні властивості сплавів, які не можуть бути отримані за допомогою інших методів. Однак, побудова фазової діаграми складна завдання, оскільки вона залежить від багатьох факторів, таких як хімічний склад сплаву, температура, швидкість охолодження та інші. Для побудови фазової діаграми використовують різноманітні методи, наприклад, методи термічного аналізу, електропровідності, магнітної провідності, електрохімічної енергетики, електронно-спекторальні, електрон-фотонні спектроскопічні та інші методи. Кожен з цих методів має свої переваги та недоліки, тому вибір конкретного методу залежить від конкретної проблеми та обсягу даних.

ЕЛЕКТРОН-ФОТОННА ЕМІСІЯ ЛУЖНО-ГАЛОГЕННИХ КРИСТАЛІВ

М.В.Приходько

Ужгородський національний університет,

кафедра квантової електроніки,

вул. Волошина, 54, Ужгород, 88000

e-mail: qel@univ.uzhgorod.ua

Досліджено спектральний склад оптичного випромінювання, що виникає при бомбардуванні електронами середніх енергій поверхонь деяких лужно-галогенних кристалів (NaCl , KBr , LiF , NaF). Встановлено два види дослідженого випромінювання, різні за місцем локалізації і механізмом генерації, а саме характеристичне випромінювання атомів лужного металу і неперервне випромінювання в широкій області довжин хвиль. Вимірюють залежності інтенсивності характеристичного і неперервного випромінювання від параметрів пучка електронів і температури дослідженого зразка. Проаналізовано можливі канали утворення цього випромінювання.

Вступ

Процеси розпорощення лужно-галогенних кристалів (ЛГК) під дією електронів вивчаються впродовж багатьох десятиріч з огляду на їх широке практичне використання та наукову зацікавленість. Вони використовуються як модель для вивчення непружніх процесів, оскільки мають просту кристалографічну і електронну структуру [1, 2]. До того ж, для ЛГК виявлено високу ефективність розпорощення електронами [3, 4]. Інтерес до подібних досліджень ЛГК оптичним методом зумовлений можливістю вивчення за характеристиками фотонної емісії деталей механізмів емісії фотонів як кристалом, так і відлітаючими збудженими частинками.

Безпосереднє вибивання атомів із кристала електронами первинного пучка неможливе, тому вищезгадане розпорощення пояснюють як багатостадійний процес, пов'язаний з розпадом збуджених станів кристала або поліатомних комплексів на поверхні. Запропоновано кіль-

ка моделей розпорощення [5], але жодна з них не дає можливості пояснити всі отримані на даний час експериментальні дані. Для ЛГК наявна емісія фотонів і безпосередньо з опромінюваної електронами поверхні. Її пов'язують зі збудженням дефектів у кристалі. Типовими дефектами кристалічної структури у ЛГК є F-центри та їх сукупності [6].

Метою даної роботи є отримання даних про спектральний склад оптичного випромінювання, що виникає при бомбардуванні електронами поверхонь деяких ЛГК, та встановлення механізмів генерації як характеристичного, так і неперервного випромінювання.

Нами досліджено оптичне випромінювання в спектральному діапазоні 200–800 нм, що виникає при опроміненні кристалів NaCl , KBr , LiF , NaF електронами. Вивчені види випромінювання, що виникають у спектрі електрон-фotonної емісії (ЕФЕ) ЛГК. Для кристала KBr також досліджено залежності характеристик випромінювання від параметрів бомбардуючого пучка і температури мішенні.

Експеримент

Експерименти проводилися на електро-фотонному спектрометрі, виготовленому на базі надвисоковакуумної системи КП-4 [7]. У ролі мішені використовували іонокристали ЛГК (KBr, LiF, NaCl і NaF). Поверхня зразків перед встановленням в вакуумну камеру шліфувалась і рувалась. Подальше очищення мішені здійснювалося при високому вакуумі ($P_{\text{зат}} < 10^{-6}$ Тор) нагріванням до температур 100 °C та опроміненням високоенергетичними електронами. Під час експериментів залишкових газів у камері зіткнень було $P_{\text{зат}} \leq 5 \times 10^{-9}$ Тор. Енергія бомбардувальних електронів під час запису спектрів свічення становила 600, 900, 950 еВ (див. рис. 1), а при дослідженні енергетичної залежності інтенсивності характеристичного сперевного випромінювання змінювались в діапазоні від кількох десятків до 1000 еВ. При цьому густина струму бомбардування від 0,1 до 5 мА/см². Діаметр струму електронів залишався незмінним і

становив ≈4 мм. Бомбардування дослідженого зразка здійснювалося під кутом $\alpha=15^\circ$ відносно нормалі до поверхні. Кут спостереження вибиралась близьким до нормалі ($\theta \approx 0^\circ$). Температуру мішені в інтервалі 20–500 °C змінювали за допомогою підігрівного елемента і контролювали термопарою.

Випромінювання в області довжин хвиль від 200 до 800 нм аналізувалося за допомогою світлосильного монохроматора МДР-12. Вхідна і вихідна щілини монохроматора були рівними 0,25 мм, що забезпечувало роздільність 4 Å. Виділене монохроматором випромінювання детектувалося фотоелектронним помножувачем ФЭУ-106, а запис спектрів здійснювався електричним потенціометром КСП-4.

Результати і їх обговорення

Спектрограми свічення, яке емітується з поверхні деяких ЛГК при бомбардуванні електронами при кімнатній температурі, представлено на рис. 1.

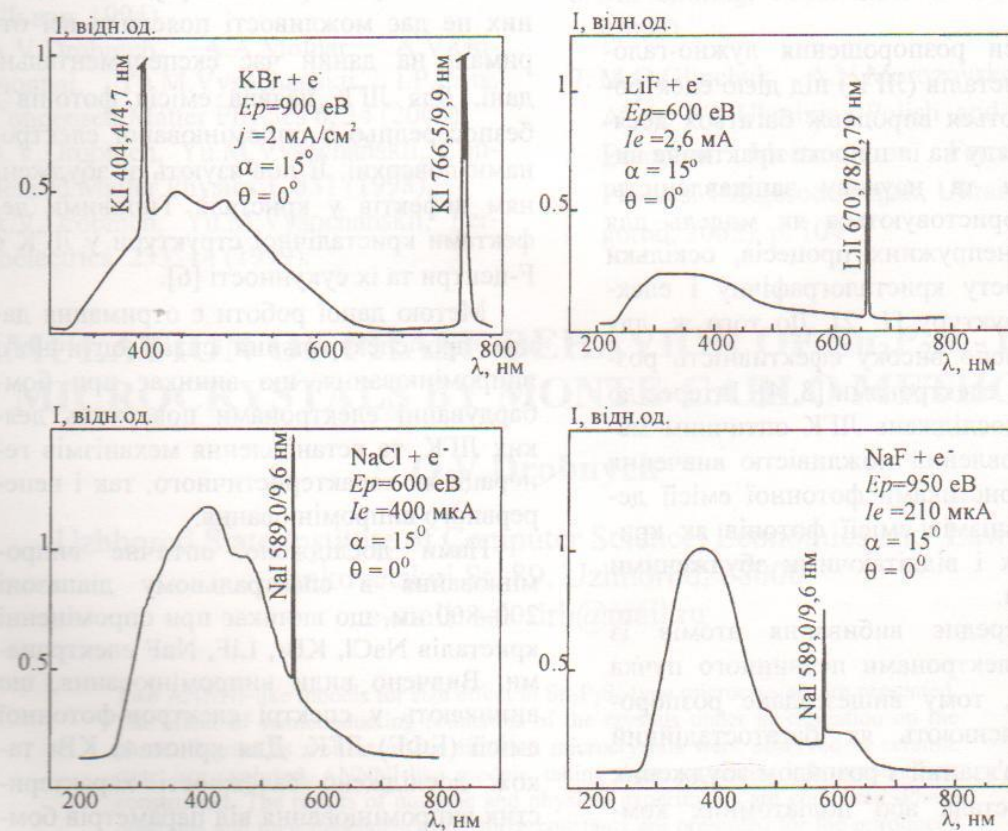


Рис. 1. Спектрограми свічення деяких ЛГК при бомбардуванні електронами.

У всіх досліджуваних спектрах спостерігається неперервне випромінювання з одним або кількома максимумами і характеристичне випромінювання атомів лужного металу. Так, для KBr характерні два максимуми ($\lambda_1 \approx 450$ нм і $\lambda_2 \approx 500$ нм) і спектральні лінії атомів К – два дублети KI 766,5/9,9 нм та KI 404,4/4,7 нм. У спектрі свічення кристала NaCl наявне неперервне випромінювання з двома максимумами при 400 нм і 480 нм та дублет ліній NaI 589,0/9,6 нм. У спектрі ЕФЕ NaF спостерігається неперервне випромінювання з трьома максимумами ($\lambda_1 \approx 370$ нм, $\lambda_2 \approx 480$ нм, $\lambda_3 \approx 610$ нм) і спектральний дублет NaI 589,0/9,6 нм, а у спектрі свічення кристала LiF – неперервне випромінювання з максимумом при $\lambda = 300$ нм і дублет ліній LiI 679,78/0,79 нм. Для всіх досліджуваних спектрів не спостерігалося характеристичне випромінювання збуджених атомів галогену.

Із спостережень випромінювання під різними кутами до поверхні (в т.ч. вздовж поверхні) встановлено, що досліджуване неперервне випромінювання емітуються безпосередньо бомбардованою поверхнею, а випромінювання збуджених атомів лужного металу локалізоване в прилеглому до поверхні просторі, тобто воно емітується відлітаючими від поверхні збудженими атомами.

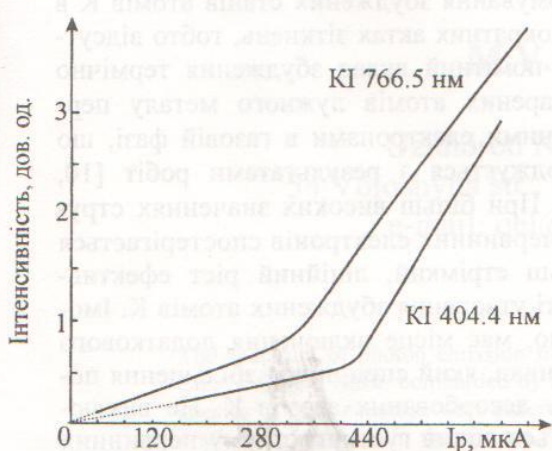


Рис. 2. Залежності інтенсивності ліній KI 766,5 нм і KI 404,4 нм від струму первинних електронів для кристала KBr.

На рис.2 представлена залежність інтенсивності ліній KI 766,5 нм і KI 404,4 нм для кристала KBr від струму первинних електронів, а на рис.3 – інтенсивності цих же ліній та неперервного випромінювання ($\lambda_{max} = 450$ нм) від енергії бомбардуючих електронів.

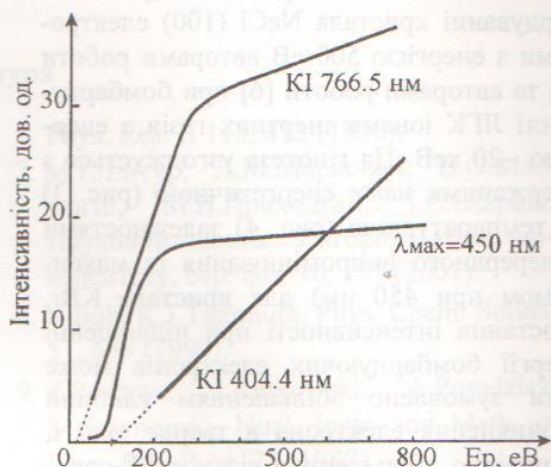


Рис. 3. Залежності інтенсивності ліній KI 766,5 нм і KI 404,4 нм від енергії первинних електронів для кристала KBr.

Різні компоненти досліджених спектрів, певно, мають різну природу. Так, неперервне випромінювання (з одним або кількома максимумами), яке спостерігається в області довжин хвиль 250–650 нм, може бути пов’язане зі збудженням у кристалі дефектів типу F-центрів різної кратності. Механізм утворення дефектів іонізуючим випромінюванням у ЛГК може бути наступним. Заряджена частинка, рухаючись всередину кристала, на додаток до зміщення іонів із їх позицій в гратці, може збуджувати міжзонні переходи, що призводить до формування "самозахопленого екситона", тобто електрона, кулонівськи зв’язаного з ковалентно зв’язаним діатомним галогенним молекулярним іоном X_2^- [6]. Після кількох піків-секунд "самозахоплений екситон" релаксує, в результаті чого може утворюватися фонон чи фотон, або шляхом безвипромінювального переходу формуватися

галогенна вакансія (F-центр) чи міжвузловий атом галогену (H-центр). Встановлено, що при кімнатній температурі і вище процеси формування F-центрів у ЛГК є домінуючими [8]. Збудження цих дефектів у кристалі і призводить до появи у дослідженіх спектрах смуг неперервного випромінювання. Подібне неперервне випромінювання спостерігалося при бомбардуванні кристала NaCl (100) електронами з енергією 500 еВ авторами роботи [9] та авторами роботи [6] при бомбардуванні ЛГК іонами інертних газів з енергією ~ 20 кеВ. Ця гіпотеза узгоджується з одержаними нами енергетичною (рис. 3) та температурною (рис. 4) залежностями неперервного випромінювання (з максимумом при 450 нм) для кристала KBr. Зростання інтенсивності при підвищенні енергії бомбардуючих електронів може бути зумовлено збільшенням глибини проникнення електрона в тверде тіло і, відповідно, збільшенням кількості F-центрів, утворених та збуджених електроном на своєму шляху. Досягнення плато пояснюється проникненням електронів на глибину, з якої ще ймовірний вихід фотонів. Зменшення інтенсивності неперервного випромінювання, яке спостерігається при підвищенні температури кристала (рис. 4), пояснюється відпалюванням дефектів у кристалі.

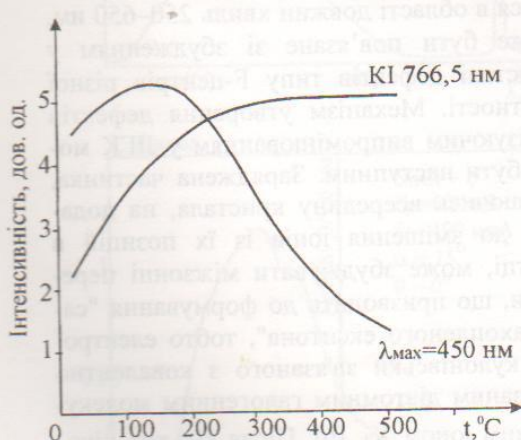


Рис. 4. Залежність інтенсивності дублету ліній KI 766,5/6,9 нм та смуги випромінювання з максимумом при 450 нм від температури мішенні.

Що стосується розпорощення електронами атомів лужного металу в збудженному стані, то виявлені раніше аномальні коефіцієнти розпорощення електронами поверхонь ЛГК [3, 4] є інтегральними характеристиками, які враховують вихід атомів в основному і збудженному станах. Це відкриває можливість прямого дослідження оптичним методом процесів розпорощення. Отримана нами залежність спектральних ліній KI від енергії первинних електронів (рис. 3) вказує, що процес розпорощення має пороговий характер. Досить високі значення виявлених порогових енергій ($E_p \geq 50$ еВ) свідчать про те, що процес електронного розпорощення може відбуватися через збудження первинними електронами електронів глибоких електронних оболонок лужного металу або галогену. Подальша анігіляція утворених дірок призведе до вивільнення енергії, яка може бути затрачена на розрив зв'язку атома лужного металу з кристалом і його від'єднання від поверхні в збудженному стані. На користь цієї думки свідчить і одержана нами залежність інтенсивності ліній KI 766,5 нм і KI 404,4 нм від струму пучка первинних електронів для кристала KBr (рис. 2). Із залежності слідує, що інтенсивність спектральних ліній лінійно залежить від струму первинних електронів в широких межах, що вказує на домінуючий механізм формування збуджених станів атомів K в однократних актах зіткнень, тобто відсутній помітний вклад збудження термічно випарених атомів лужного металу первинними електронами в газовій фазі, що узгоджується з результатами робіт [10, 11]. При більш високих значеннях струму первинних електронів спостерігається більш стрімкий, лінійний ріст ефективності утворення збуджених атомів K. Імовірно, має місце включення додаткового чинника, який спричинює збільшення потоку десорбованих атомів K. Не виключається вплив густини струму первинних електронів на деяку зміну температури зразка. Її підвищення, як видно з рис. 4, веде до збільшення інтенсивності лінії KI 766,5 нм.

Висновки

Отже, отримано дані про спектральний склад оптичного випромінювання при бомбардуванні електронами поверхонь деяких ЛГК. Встановлено, що в спектрі наявні два типи випромінювання, які є різними за природою випромінювачів, місцем локалізації та ме-

ханізмом генерації. Неперервне випромінювання, яке локалізоване на поверхні кристалу, пов'язане з утворенням "самозахоплених екситонів" і збудженням F-центрів та комплексів F-центрів кристала. Характеристичне випромінювання атомів лужного металу – це стимульована електронами десорбція з поверхні атомів лужного металу у збудженному стані.

Література

1. N.H.Tolk, Desorption Induced by Electronic Transitions (Springer-Verlag, Berlin, 1983).
2. N.Itoh, K.Tanimura, Radiat. Eff. 98, 269 (1986).
3. M.Szymonski, J.Rutkowski, A.Poradzisz, Z.Postawa, B.Jorgensen, in: Springer Series in Surface Science (Springer, Berlin, Heidelberg, 1984), vol. 4, p. 457.
4. N.Neidhart, M.Sporn, M.Schmid, P.Varaga, Nucl. Instr. and Meth. in Phys. Res. B 101, 127 (1995).
5. T.E.Madey, J.T.Yates, J. Vac. Sci. Tech. 8, 525 (1971).
6. Q.Yan, A.Y.Barnes, N.Seifert, R.Aldridge, N.Tolk, Nucl. Instr. and Meth. in Phys. Res. B 115, 415 (1996).
7. М.І.Лінтур, Л.М.Маркович, В.О.Мастюгін, М.В.Приходько, І.С.Шароді, Науковий вісник Ужгородського університету, сер. фіз. 10, 191 (2001).
8. N.Itoh, K.J.Tanimura, Phys. Chem. Solids. 51, 679 (1990).
9. Z.Postawa, J.Rutkowski, A.Poradzisz, M.Szymonski, Nucl. Instr. and Meth. in Phys. Res. B 34, 23 (1988).
10. N.Tolk, L.Feldman, J.Kraus, Phys. Rev. Lett. 46, 134 (1981).
11. В.Г.Дробнич, В.А.Мастюгин, С.В.Охрименко, С.С.Поп, Изв. РАН., сер. физ. 62, 836 (1998).

ELECTRON-PHOTON EMISSION OF ALKALI HALIDE CRYSTALS

M.V.Prikhodko

Uzhhorod National University,
54 Voloshyna str., Uzhhorod 88000, Ukraine
e-mail: qel@univ.uzhgorod.ua

The spectrum of photon emission from the surface of alkali-halide crystals (KBr, LiF, NaCl and NaF), bombarded by medium-energy electrons, is investigated. Two species of light emission with different nature, localization and mechanism of generation are detected in the spectra. These are the characteristic emission of alkali metal atoms and continuous emission in a broad range of wavelengths. The intensities of the characteristic and continuous emission versus the electron beam parameters and target temperature are plotted. Possible channels of formation of the light emission are analyzed.